- преодоление «газовой паузы» неоправданно высокой доли газа в топливном балансе — с помощью ценовой политики в области энергоресурсов. Оптимизация топливного баланса является важной составляющей комплекса мер по обеспечению энергетической и политической безопасности страны;
- определение реально достижимых и фактически складывающихся экономических, энергетических и экологических показателей в их взаимосвязи и взаимовлиянии [7];
- поддержание темпов роста цен на энергоносители на уроне не ниже 13 % в год (в период с 2012 по 2020 гг.), несмотря на риски инициирования социальной напряженности. Это один

СПИСОК ЛИТЕРАТУРЫ

- Ушаков В.Я. Современная и перспективная энергетика: технологические, социально-экономические и экологические аспекты. — Томск: Изд-во ТПУ, 2008. — 469 с.
- Сушко В.А. Реформирование электроэнергетики: прогноз ситуации после 2010 года // Новости электротехники. 2008. № 3 (51). С. 32—37.
- Энергоэффективность в России: скрытый резерв // Отчёт, подготовленный экспертами Всемирного банка, Международной финансовой корпорации и Центра по эффективному использованию энергии. – 2008. – 162 с.
- Башмаков И.А. Потенциал энергосбережения в России // Энергосбережение. – 2009. – № 1. – С. 28–36.

из важных источников средств, необходимых для поддержки энергетического сектора экономики и сильнодействующего средства стимулирования энергосбережения.

Мощным толчком для ускорения движения к энергоэффективной экономике послужил бы Национальный проект по энергосбережению и энергоэффективности, вопрос о котором поднимался на Красноярском экономическом форуме (г. Красноярск, 27—28 февраля 2009 г.).

Общая задача россиян — распорядиться бесценным капиталом в виде богатейших энергоресурсов так, чтобы не решать проблемы сегодняшнего дня в ущерб будущим поколениям.

- Ковалёв В.Д., Ивакин В.Н., Фотин В.П. Новые технологии и перспективы развития энергетики // Электричество. — 2006. — № 9. — С. 8–14.
- 6. Кутовой Г.П., Мисриханов М.Ш., Овсейчук В.А. Концепция новой структуры // Новости электротехники. 2008. № 3 (51). С. 1—3.
- Бушуев В.В. Энергоэффективность как направление новой энергетической политики России // Энергосбережение. – 1999. – № 4. – С. 32–38.

Поступила 18.03.2009 г.

УДК 621.311.1.016

ФОРМИРОВАНИЕ УРАВНЕНИЙ УСТАНОВИВШИХСЯ НЕСИНУСОИДАЛЬНЫХ РЕЖИМОВ ЭЛЕКТРИЧЕСКИХ СИСТЕМ С УЧЕТОМ РАСПРЕДЕЛЕННОСТИ ПАРАМЕТРОВ ЛЭП

Н.Н. Харлов, В.В. Иванов*, А. В. Погонин*, В.А. Мельников*

Томский политехнический университет *Межрегиональная распределительная сетевая компания Сибири, г. Красноярск E-mail: rcr@tpu.ru.

Предложена система уравнений установившегося несинусоидального режима сложной электрической сети, обеспечивающая математическое моделирование режима с учетом специфических факторов: геометрии подвески проводов и грозозащитных тросов, распределенности параметров, поверхностного эффекта и др. Полученная система уравнений используется для исследования частотных характеристик входной проводимости холостой ЛЭП 500 кВ с горизонтальной подвеской проводов.

Ключевые слова:

Математические модели, несинусоидальные режимы, электрические сети, уравнения баланса токов, распределенные параметры, частотные характеристики.

Введение

В задачах математического моделирования несинусоидальных режимов электрических систем возникает необходимость записи уравнений установившегося несинусоидального режима в форме баланса токов в узлах электрической сети на отдельных частотах гармонических составляющих [1]. В таких расчетах необходим учет специфических свойств линии: способа подвески проводов и

грозозащитных тросов, их количества, распределенность параметров, наличие поверхностного эффекта в проводниках на повышенных частотах и пр. При этом напряжения по концам линий и токи линий связываются известными телеграфными уравнениями [2]. Для несимметричной многопроводной линии, состоящей из *m* проводов и грозозащитных тросов, данные уравнения на частоте *n*-й гармоники имеют следующий вид:

$$\dot{U}_{x}(\omega_{n}) = e^{-\lambda_{u}(\omega_{n})x} A + e^{\lambda_{u}(\omega_{n})x} B;$$

$$\dot{I}_{x}(\omega_{n}) = e^{-\lambda_{i}(\omega_{n})x} C + e^{\lambda_{i}(\omega_{n})x} D. \tag{1}$$

Здесь $U(\omega_n)$, $I(\omega_n)$ — векторы-столбцы напряжений и токов частоты ω_n n-й гармоники размерностью $m\times 1$ в сечении на расстоянии x от начала линии; $\lambda_u(\omega_n) = \sqrt{Z(\omega_n)}Y(\omega_n)$; $\lambda_i(\omega_n) = \sqrt{Z(\omega_n)}Y(\omega_n)$; $Z(\omega_n)$, $Y(\omega_n)$ — матрицы собственных и взаимных погонных сопротивлений и проводимостей проводов и тросов на частоте n-й гармоники размерностью $m\times m$; $A(\omega_n)$, $B(\omega_n)$, $C(\omega_n)$, $D(\omega_n)$ — постоянные векторы-столбцы размерностью $m\times 1$, обычно вычисляемые из граничных условий на частоте n-й гармоники:

$$-Z(\omega_{n})\dot{I}_{\kappa}(\omega_{n}) =$$

$$= -\lambda_{u}(\omega_{n})e^{-\lambda_{u}(\omega_{n})l}A(\omega_{n}) + \lambda_{u}(\omega_{n})e^{\lambda_{u}(\omega_{n})l}B(\omega_{n});$$

$$-Y(\omega_{n})\dot{U}_{\kappa}(\omega_{n}) =$$

$$= -\lambda_{i}(\omega_{n})e^{-\lambda_{i}(\omega_{n})l}C(\omega_{n}) + \lambda_{i}(\omega_{n})e^{\lambda_{i}(\omega_{n})l}D(\omega_{n}). \tag{2}$$

Уравнения баланса токов

Формирование балансов токов в узлах электрической сети предполагает процедуру определения токов ветвей при заданных напряжениях в узлах. Применительно к уравнениям (1, 2), описывающим режим ветви, данная процедура выглядит следующим образом:

1. Определяются векторы-столбцы $A(\omega_n)$, $B(\omega_n)$ путем решения системы матричных уравнений, записываемой на основе первого уравнения системы (1) для x соответствующего началу и концу линии:

$$\dot{U}_{H}(\omega_{n}) = A(\omega_{n}) + B(\omega_{n});$$

$$\dot{U}_{H}(\omega_{n}) = e^{-\lambda_{H}(\omega_{n})l} A(\omega_{n}) + e^{\lambda_{H}(\omega_{n})l} B(\omega_{n}).$$

Здесь l- длина линии, а индексы h и κ соответствуют ее началу и концу.

Решение данной системы при использовании блочной формы записи матриц имеет следующий вид:

$$\begin{vmatrix} A(\omega_{n}) \\ B(\omega_{n}) \end{vmatrix} = \begin{vmatrix} E & E \\ e^{-\lambda_{u}(\omega_{n})l} & e^{\lambda_{u}(\omega_{n})l} \end{vmatrix}^{-1} \times \begin{vmatrix} \dot{U}_{n}(\omega_{n}) \\ \dot{U}_{k}(\omega_{n}) \end{vmatrix} =$$

$$= \begin{vmatrix} H_{11} & H_{12} \\ H_{21} & H_{22} \end{vmatrix} \times \begin{vmatrix} \dot{U}_{n}(\omega_{n}) \\ \dot{U}_{k}(\omega_{n}) \end{vmatrix},$$

где E — единичная комплексная матрица размерностью $m \times m$.

Откуда

$$A(\omega_n) = H_{11}\dot{U}_n(\omega) + H_{12}\dot{U}_\kappa(\omega);$$

$$B(\omega_n) = H_{21}\dot{U}_\nu(\omega) + H_{22}\dot{U}_\nu(\omega).$$

2. Определяются векторы-столбцы токов в начале и в конце линии $\dot{I}^n(\omega_n)$ $\dot{I}^k(\omega_n)$ с использованием первого уравнения системы (2):

$$\dot{I}^{\kappa}(\omega_{n}) = -Z^{-1}(\omega_{n})(-\lambda_{u}(\omega_{n})A(\omega_{n}) + \lambda_{u}(\omega_{n})B(\omega_{n}));$$

$$\dot{I}^{\kappa}(\omega_{n}) = -Z^{-1}(\omega_{n})(-\lambda_{u}(\omega_{n})e^{-\lambda_{u}(\omega_{n})l}A(\omega_{n}) + \lambda_{u}(\omega_{n})e^{\lambda_{u}(\omega_{n})l}B(\omega_{n})).$$

Или с учетом полученных значений векторов $A(\omega_n)$ и $B(\omega_n)$

$$\begin{split} \dot{I}_{n}(\omega_{n}) &= -Z^{-1}(\omega_{n})(-\lambda_{u}(\omega_{n})(H_{11}\dot{U}_{n}(\omega_{n}) + \\ &+ H_{12}\dot{U}_{\kappa}(\omega_{n})) + \lambda_{u}(\omega_{n})(H_{21}\dot{U}_{n}(\omega_{n}) + H_{22}\dot{U}_{\kappa}(\omega_{n}))); \\ \dot{I}_{\kappa}(\omega_{n}) &= -Z^{-1}(\omega_{n})(-\lambda_{u}(\omega_{n})e^{-\lambda_{u}l}(H_{11}\dot{U}_{n}(\omega_{n}) + \\ &+ H_{12}\dot{U}_{\kappa}(\omega_{n})) + \lambda_{u}(\omega_{n})e^{\lambda_{u}l}(H_{21}\dot{U}_{n}(\omega_{n}) + H_{22}\dot{U}_{\kappa}(\omega_{n}))). \end{split}$$

Рассмотрим формирование уравнений установившегося несинусоидального режима на частоте *n*-ой гармоники на примере трехузловой схемы, содержащей источник питания (в общем случае несинусоидальный) в базисном узле 3 и две нелинейных нагрузки в узлах 1 и 2 (рис. 1). Условимся относительно направления ветвей, обозначив их начала и концы соответствующими номерами узлов примыкания.

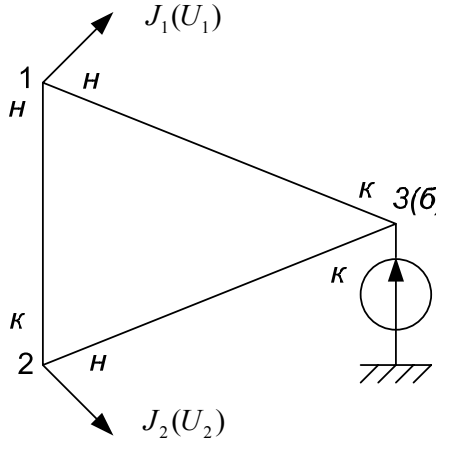


Рис. 1. Схема трехузловой электрической сети: U_6 — напряжение базисного узла; $J_1(U_1)$, $J_2(U_2)$ — токи нагрузок

1. Баланс токов в узле 1:

$$\begin{split} -Z^{13-1}(\omega_n)(-\lambda_u^{13}(\omega_n)(H_{11}^{13}\dot{U}_1(\omega_n)+H_{12}^{13}U_3(\omega_n))+\\ +\lambda_u^{13}(\omega_n)(H_{21}^{13}\dot{U}_1(\omega_n)+H_{22}^{13}\dot{U}_3(\omega_n)));\\ -Z^{12-1}(\omega_n)((-\lambda_u^{12}(\omega_n)(H_{11}^{12}\dot{U}_1(\omega_n)+H_{12}^{12}\dot{U}_2(\omega_n))+\\ +\lambda_u^{12}(\omega_n)(H_{21}^{12}\dot{U}_1(\omega_n)+H_{22}^{12}\dot{U}_2(\omega_n)))=\dot{J}_1(\omega_n). \end{split}$$

2. Баланс токов в узле 2:

$$-Z^{23-1}(\omega_n)(-\lambda_u^{23}(H_{11}^{23}\dot{U}_2(\omega_n)+H_{12}^{23}\dot{U}_3(\omega_n))+\\ +\lambda_u^{23}(H_{21}^{23}\dot{U}_2(\omega_n)+H_{22}^{23}\dot{U}_3(\omega_n)));$$

$$Z^{12-1}(\omega_n)(-\lambda_u^{12}(\omega_n)e^{-\lambda_u^{12}(\omega_n)l^{12}}(H_{11}^{12}\dot{U}_1(\omega_n)+H_{12}^{12}\dot{U}_2(\omega_n))+ + \lambda_u^{12}(\omega_n)e^{\lambda_u^{12}(\omega_n)l^{12}}(H_{21}^{12}\dot{U}_1(\omega_n)+H_{22}^{12}\dot{U}_2(\omega_n)))=\dot{J}_2(\omega_n),$$

где верхние индексы относятся к узлам схемы, причем первый индекс относится к номеру начального узла, а второй — к номеру конца ветви.

После преобразований данная система матричных уравнений приобретает вид:

$$\begin{vmatrix} Y_{11} & Y_{12} \\ Y_{21} & Y_{22} \end{vmatrix} \times \begin{vmatrix} \dot{U}_1(\omega_n) \\ \dot{U}_2(\omega_n) \end{vmatrix} = \begin{vmatrix} \dot{J}_1(\omega_n) \\ \dot{J}_2(\omega_n) \end{vmatrix} - \begin{vmatrix} Y_{16} \\ Y_{26} \end{vmatrix} \times \dot{U}_6(\omega_n).$$

Здесь блоки Y_{ij} имеют размерность $m \times m$ и определяются следующими матричными соотношениями:

$$\begin{split} Y_{11} &= -Z^{13-1}(\omega_n)(-\lambda_u^{13}H_{11}^{13} + \lambda_u^{13}H_{21}^{13}) - \\ &- Z^{12-1}(\omega_n)(-\lambda_u^{12}H_{11}^{12} + \lambda_u^{12}H_{21}^{12}); \\ Y_{12} &= -Z^{12-1}(\omega_n)(-\lambda_u^{12}H_{12}^{12} + \lambda_u^{12}H_{22}^{12}); \\ Y_{21} &= Z^{12-1}(\omega_n)(-\lambda_u^{12}e^{-\lambda_u^{12}l^2}H_{11}^{12} + \lambda_u^{12}e^{\lambda_u^{12}l^2}H_{21}^{12}); \\ Y_{22} &= -Z^{23-1}(\omega_n)(-\lambda_u^{23}H_{11}^{23} + \lambda_u^{23}H_{23}^{23}) + \\ &+ Z^{12-1}(\omega_n)(-\lambda_u^{12}e^{-\lambda_u^{12}l^2}H_{12}^{12} + \lambda_u^{12}e^{\lambda_u^{12}l^2}H_{22}^{12}); \\ Y_{13} &= -Z^{13-1}(\omega_n)(-\lambda_u^{13}H_{12}^{13} + \lambda_u^{13}H_{22}^{13}); \\ Y_{23} &= -Z^{23-1}(\omega_n)(-\lambda_u^{23}H_{12}^{12} + \lambda_u^{23}H_{23}^{23}). \end{split}$$

Существует определенная закономерность в формировании блоков Y_i :

- на главной диагонали расположены блоки Y_{ii} , представляющие собой суммы матриц, определяемых матричными выражениями типа $-Z^{j-1}(\omega_n)(-\lambda_u^{ij}(\omega_n)H_{1i}^{ij}+\lambda_u^{ij}(\omega_n)H_{2i}^{ij})$ при условии, что ветви лежащие между узлами i и j примыкают к узлу i своим началом, и матричыми выражениями типа $Z^{j-1}(\omega_n)(-\lambda_u^{ij}(\omega_n)e^{-\lambda_u^{ij}(\omega_n)i^{ij}}H_{12}^{ij}+\lambda_u^{ij}(\omega_n)e^{\lambda_u^{ij}(\omega_n)i^{ij}}H_{22}^{ij})$ при условии, что ветви, лежащие между узлами i и j, примыкают к узлу i своим концом.
- внедиагональные блоки Y_{ij} вычисляются матричными выражениями типа $-Z^{j-1}(\omega_n)(-\lambda_u^{ij}(\omega_n)H_1^{ij}+\lambda_u^{ij}(\omega_n)H_2^{ij})$ при совпадении индексов i и j с номерами узлов начала и конца ветви и матричными выражениями типа $Z^{ij-1}(\omega_n)(-\lambda_u^{ij}e^{-\lambda_u^{ij}p^i}H_1^{ij}+\lambda_u^{ij}e^{\delta_i^{jj}}H_2^{ij})$ при смене порядка следования индексов и номеров узлов начала и конца ветви.

Наиболее сложной процедурой при проведении расчетов по приведенным уравнениям является процедура вычисления функций от матриц типа: $\lambda_u(\omega_n) = \sqrt{Z(\omega_n)Y(\omega_n)}; \ \lambda_i(\omega_n) = \sqrt{Z(\omega_n)Y(\omega_n)}, \ e^{-\lambda_i(\omega_n)l}, \ e^{\lambda_i(\omega_n)l}, \ e^{\lambda_i(\omega_n)l}$. В дальнейшем вычисления данных функций проводится с использованием теоремы Кэли-Гамильтона [3], в соответствии с которой матричная функция определяется по формуле:

$$f(A) = \frac{1}{\Lambda} \sum_{k=1}^{n} \Delta_{n-k} A^{n-k}.$$

Здесь Δ — определитель Вандермонда $\det[\lambda_i^{k-1}]$, а Δ_j — определитель, получаемый, если в Δ вместо $\lambda_1^{i_j}, \lambda_2^{i_j}, \dots, \lambda_n^{i_j}$, подставить значения функций $f(\lambda_1)$, $f(\lambda_2), \dots, f(\lambda_n)$.

В тех случаях, когда гармонические составляющие токов нагрузок заранее неизвестны и определяются в процессе расчета в зависимости от спектров узловых напряжений с использованием соответствующих математических моделей (например [4, 5]) расчет должен выполняться итерационно:

$$\begin{vmatrix} Y_{11} & Y_{12} \\ Y_{21} & Y_{22} \end{vmatrix} \times \begin{vmatrix} \dot{U}_1(\omega_n) \\ \dot{U}_2(\omega_n) \end{vmatrix}^{k+1} = \begin{vmatrix} \dot{J}_1(\omega_n, u_1^k) \\ \dot{J}_2(\omega_n, u_2^k) \end{vmatrix} - \begin{vmatrix} Y_{16} \\ Y_{26} \end{vmatrix} \times \dot{U}_6(\omega_n).$$

Данные уравнения позволяют проводить исследование режимов электрических сетей с нелинейными нагрузками. Кроме того, на основе этих уравнений возможно исследование частотных свойств мно-

гопроводных линий с распределенными параметрами и определение возможности возникновения резонансных режимов на частотах высших гармоник.

Результаты расчета

В качестве примера использования полученных уравнений приведем расчет трехфазной холостой линии 500 кВ с длиной 200 км с горизонтальным расположением проводов без троса со следующими погонными параметрами [2]: r_0 =0,12 Ом/км; x_{011} =0,331 Ом/км; x_{012} =0,0549 Ом/км; x_{013} =0,0245 Ом/км; y_{013} =1.10-8 См/км; y_{013} =1.10-8 См/км; y_{012} =2.10-8 См/км; y_{013} =1.10-8 См/км; y_{013} =1.10-6 См/км; y_{013} =1.10-8 См/км; y_{013} =1.10-8

Здесь
$$\chi = \frac{R_{np.}}{2} \sqrt{\omega \mu \gamma / 2}$$
; $r_{0=}$ — погонные ак-

тивные сопротивления провода постоянному току и току частотой ω ; μ , γ — абсолютная магнитная проницаемость и проводимость материала провода; $R_{\text{no.}}$ — внешний диаметр провода.

Амплитуды напряжений на шинах источника питания принимаются равными нулю в крайних фазах и единице в средней фазе. Частота приложенного напряжения в процессе расчета изменяется от 50 до 5000 Гц (ω/ω_0 =1-100). Входная проводимость определяется численно равной величине входного тока средней фазы. Зависимости составляющих проводимости от частоты приведены на рис. 2.

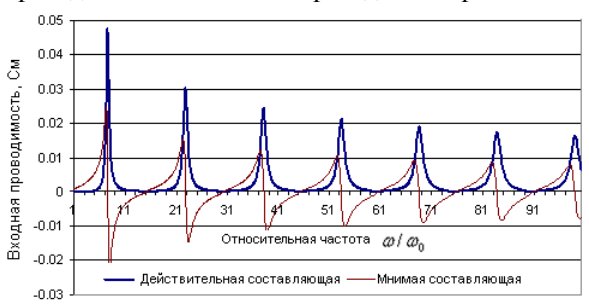


Рис. 2. Зависимости действительной и мнимой составляющих входной проводимости средней фазы линии

Выводы

1. Предложены уравнения установившегося несинусоидального режима в сложной электрической сети, которые в общем виде имеют общепринятую форму уравнений узловых напряжений в форме баланса токов с той лишь разницей, что значения собственных и взаимных проводимостей определяются матричными выражениями и учитывают основные факторы, определяющие режим: количество проводов многопроводных ЛЭП, способ их подвески, распределенность параметров, поверхностный эффект, а также инцидентность ветви.

2. Полученные системы матричных уравнений установившегося несинусоидального режима обеспечивают расчет узловых напряжений и токов ветвей на всех расчетных частотах, а при

необходимости и их итерационные уточнения, что особенно важно при близости частот отдельных гармонических составляющих к полюсам частотных характеристик ЛЭП.

СПИСОК ЛИТЕРАТУРЫ

- 1. Аррилага Дж., Брэдли Д., Боджер П. Гармоники в электрических системах: пер. с англ. М.: Энергоатомиздат, 1990. 320 с.: ил.
- 2. Базуткин В.В., Дмоховская Л.Ф. Расчеты переходных процессов и перенапряжений. М.: Энергоатомиздат, 1983. 328 с.,
- 3. Корн Г., Корн Т. Справочник по математике для научных работников и инженеров. – М.: Наука, 1974. – 832 с., ил.
- Кучумов Л.А., Харлов Н.Н., Картасиди Н.Ю., Пахомов А.В., Кузнецов А.А. Использование метода гармонического баланса
- для расчета несинусоидальных и несимметричных режимов в системах электроснабжения // Электричество. 1999. № 12. С. 10-21.
- Харлов Н.Н. Математическое моделирование и идентификация узлов нагрузки с нелинейными электроприемниками // Электричество. 2006. № 2. С. 7–12.
- 6. Нейман Л.Р., Демирчан К.С. Теоретические основы электротехники. Т. 2. Л.: Энергия, 1967. 407 с., ил.

Поступила 01.04.2009 г.

УДК 621.313.333

УПРАВЛЕНИЕ ПЕРЕХОДНЫМИ ПРОЦЕССАМИ В ЭЛЕКТРИЧЕСКИХ МАШИНАХ ПЕРИОДИЧЕСКОГО ДВИЖЕНИЯ

А.В. Аристов, Л.А. Паюк

Томский политехнический университет E-mail: avv@ido.tpu.ru

Рассмотрены вопросы управления переходными процессами в электрических машинах двойного питания, работающих в режиме вынужденных колебаний. Установлена взаимосвязь параметров машины двойного питания с динамическими показателями, даны рекомендации по снижению ударных моментов и токов за счет выбора начальных фаз питающих напряжений или величин коэффициентов сигналов обмоток вторичного элемента.

Ключевые слова:

Электрическая машина двойного питания, переходные процессы, ударные моменты и токи, колебательный режим работы.

При проектировании электромеханических систем, работающих в режиме вынужденных колебаний, особое внимание следует уделять возможности реализации управления переходными процессами при пуске на заданную частоту колебаний. Согласно методу динамического синтеза, заключающегося в том, что в управляемых электрических машинах любая переменная, характеризующая режим работы электромеханического преобразователя энергии, может быть принята в качестве регулируемой. Управление переходными процессами может быть достигнуто за счет изменения механической и электромагнитной инерции системы по заданным законам, полученным исходя из теории оптимального управления.

Для решения поставленной задачи необходимо установить взаимосвязь между электромагнитными нагрузками исполнительного двигателя и его геометрическими параметрами. Для того, чтобы

выводы носили обобщающий характер, в качестве исполнительного двигателя будем рассматривать машину двойного питания (МДП). При этом целесообразно воспользоваться методом и допущениями, изложенными в [1].

В качестве варьируемых геометрических параметров для управляемых электродвигателей колебательного движения следует выбрать: внутренний диаметр расточки статора D, длину магнитопровода l_{δ} и сечение эффективных проводников обмоток статора $q_{\text{эф}1}$ и ротора $q_{\text{эф}2}$. Тогда электрические параметры МДП можно выразить через них с учетом постоянных коэффициентов, присущих данному виду двигателя.

Так, при фазовом способе возбуждения колебательного режима работы активные сопротивления обмоток статора и ротора МДП, приведенные к осям α , β , будут рассчитываться с учетом [2] по соотношениям